小型自動着陸実験(ALFLEX)の結果について(速報)

平成8年8月28日 科学技術庁 航空宇宙技術研究所 宇宙開発事業団

1. 概要

ALFLEXは、平成5年に開発を着手し、今年度6月末から8月 にかけて豪州ウーメラ飛行場において着陸実験を実施した。

7月6日第1回目のフライトを行った後、風条件緩和、オフセット 分離及び舵面加振等の条件で8月15日までに計13回の飛行実験を 実施し、所定のデータ取得を行った。

2. 実験項目及び実験目的

全フライトの実験項目及び実験目的を表1に示す。

フェーズ I では自動着陸についての設計の妥当性の確認を目的とし て技術データの取得を行い、フェーズIIでは自動着陸の各種飛行実験 条件(風条件緩和、オフセット分離及び舵面加振)を変化させて実施 し、空力データ及び航法・誘導・制御に関する技術データを取得する 計画とした。

3. 着陸性能評価

全フライトの分離時、接地時、走行時及び停止時の主要パラメータ を表 2 に示す。 なお、 # 0 9 ~ # 1 2 では、 データ取得の観点から制 動用パラシュートを使用せずに実験を行った。

3. 1 地上風

表 2 に示した地表から高さ 6.1 m (2 0 f t) で計測した接地 時の風データを図1にまとめている。右風のほぼ全域にわたり万遍 なく分布しており、設計の妥当性の確認に適していたと考えている。 地上風の最大値としては、以下の通りであった。

向風 # 0 4 84.6%

横風 # 0 8 97.8%

追風

0 5 1 4 9 . 7 %

なお、追い風については、フェーズIの結果とシミュレーション 解析によりフェーズII以降では150%まで緩和することとした。

3. 2 分離位置

表2に示した 分離時のX座標(滑走路方向位置)、Y座標(滑 走路垂直方向位置)及び高度のデータを図2にまとめている。原点

1

付近にばらついている点がノミナル分離のフライトで(#12は、50m上方オフセット)、他の点がオフセット分離のフライトである。

オフセット分離の影響は全てのフライトにおいて平衡滑空までに 修正されており、プリフレア以降(接地、停止を含む)には全く現 れておらず、設計通りであった。 オフセットの最大値は以下の通 りであった。

左方 #10 193.9 m

上方 #12 46.9 m

下方 #09 46.0 m

手前 #08 100.6 m

なお、左方のオフセットの設計値は最大100mであったが、#09までのフライト結果とシミュレーション解析を踏まえ#10において200mオフセットを実施した。

3. 3 接地位置

表2に示した接地時のX座標(滑走路方向位置)及びY座標(滑走路垂直方向位置)のデータを図3にまとめている。

X座標及びY座標の最大/最小値は以下の通りである。

X 座標最大值 #11

4 6 3 . 4 m

最小值 #04

3 4 0 . 2 m

Y 座 標 最 大 値 # 1 2

3.6 m

最小值 # 0 3, 0 6

0.1 m

X座標のばらつきは#11と#04の差から最大123.2mで、シミュレーション解析による予想値450m(3σ)に比較して十分に小さかった。一方、全ての接地点が予定した接地点よりも前方にずれている点に関しては機体の特性によると推測しているが、今後詳細な解析を実施する予定である。

Y座標については、設計上の制限値18mに対し、最大でも3.6mしか離れておらず、非常に良好であったと考えている。

3. 4 接地時沈下率

表2に示した接地時の沈下率(高度方向速度)のデータを接地時のX座標とともに図4にまとめている。

接地時沈下率の最大/最小値は以下の通りである。

最大值 # 0 4

1.50 m

最小值 #11

0.37 m

沈下率の設計上の制限値は3.1 mであったが、全フライトとも 脚の能力に対し十分な余裕を持って接地することが出来た。

3. 5 停止位置

表2に示した停止時のX座標及びY座標のデータを図5に、また、停止時のX座標を接地時の前後方向の風速とともに図6にまとめている。

#09~#12は、制動用パラシュートを開かない条件であったが、図5から効果がさほど大きくないことが理解される。一方、図6には、風速との相関が明確に現れている。

制動用パラシュートの効果については、詳細な解析を予定している。 停止時のX座標及びY座標の最大/最小値は以下の通りである。

X座標最大值 #11

9 9 1 . 0 m

最小值 #04

5 8 7 . 7 m

Y 座 標 最 大 値 # 0 4

2.6 m

最小值 #13

0 . 1 m

X座標に関しては、制動用パラシュートなしのフライトを含めてすべて、設計値の1000m以下で停止することが出来た。

Y座標に関しては、接地時と同様に、設計時の制限値21mに対し十分に余裕を持って停止した。

4. 機器作動状況

全フライトを通じ、実験中機器はほぼ正常に作動した。 特記事項としては以下のことがあった。

- ・#01後にバイアス変動の問題で電波高度計を交換した。このバイアス変動はその後の調査で、#01で使用した電波高度計単体の不具合ではなく、受信回路の設計の問題であることが判明した。
- ・#01、#02及び#03の後に計3回左右の主脚のブレーキバランスをとるためプレーキ圧を調整した。
- #01の結果、主脚の回転数計測に疑義が生じた。このため、#02~#05においてはABS(アンチロックブレーキシステム)を使用しなかったが、回転数計測の疑義はその後の調査で問題ないことが判明した。

その他、懸吊時に母機と機体を電気的に接続するアンビリカルケーブルの断線等点検時における軽微な故障が発生したが、いずれも 実験に影響を与えるものではなかった。

5. スケジュール

スケジュールに関しては、当初設定されたものから、1週間程度の遅れとなり、豪州との協定については、1ヶ月延長されることとなった。

6. 結論

小型自動着陸実験は、予定通りフェーズ I、フェーズ II合わせて計13回実施され、所定のデータ取得を行った。

これにより、HOPE-Xにおける自動着陸に際しての飛行制御系の設計に必要なデータが得られたと考える。また、今まで全く未経験であった我が国における航空機の自動着陸実験技術を実証することが出来た。

今後引き続き詳細なデータ解析を行う予定である。

表1、表2及び図1~図6は省略する。

表1 実験項目及び実験目的

	T	Υ) 			
フェ・ス・	飛行 番号	実施日	実験機飛行時刻			実験項目	阿久沙	CTO FA IT AL		
		70,251	分離	接地	停止	天歌項日	風条件	実験目的		
フェ	0 1	7月 6日(土)	11:11:53	11:12:42	11:12:54	基本性能評価 1	60%設計風	機体及び地上設備の基本性能の確認		
ーズ	0 2	7月14日(日)	11:15:17	11:16:06	11:16:19	基本性能評価 2	同上	同上		
I	0 3	7月24日(水)	16:08:51	16:09:36	16:09:54	オフセット分離 1 (左80m)	同上	誘導性能確認		
	0 4	7月27日(土)	14:11:42	14:12:34	14:12:46	縦マヌーバ l (エレペータ加振1.5deg)	向風、横風100% 追風150%設計風	空力特性データ取得 (ビッチ関連)		
	0 5	7月28日(日)	13:42:32	13:43:18	13:43:36	横マヌーバ1 (ラダ-加振3deg)	同上	空力特性データ取得 (ヨー関連)		
	0 6	7月30日(火)	12:06:19	12:07:05	12:07:22	縦マヌーバ2 (エレベータ加振2deg)	同上	空力特性データ取得 (ビッチ関連)		
フ	0 7	8月 5日(月)	11:55:45	11:56:31	11:56:47	横マヌーバ2 (エルロン加振1deg)	同上	空力特性データ取得 (ロール関連)		
エー	0 8	8月 7日(水)	11:22:02	11:22:55	11:23:09	オフセット分離 2 (手前100m) 及び 横マヌーバ3 (ラダ-加振3deg)	同上	誘導性能確認 空力特性データ取得 (ヨー関連)		
ズ	0 9	8月 8日(木)	11:15:48	11:16:39	11:16:53	オフセット分離3(左100m下50m)	同上	誘導性能確認		
II	10	8月 9日(金)	11:10:14	11:11:01	11:11:17	オフセット分離 4 (左200m)	同上	誘導性能確認		
	1 1	8月10日(土)	11:11:15	11:12:00	11:12:21	オフセット分離 5 (手前100m) 及び 横マヌーバ4 (エルロン加振1deg)	161 1-	誘導性能確認 空力特性データ取得 (ロール関連)		
	1 2	8月14日(水)	10:55:21	10:56:09	10:56:24	オフセット分離 6 (上50m) 及び 縦マヌーバ 3 (エレペータ加振2deg)	同上	誘導性能確認 空力特性データ取得 (ピッチ関連)		
	1 3	8月15日(木)	11:21:09	11:21:59	11:22:12	オフセット分離 7 (手前100m) 及び 縦マヌーバ 4 (エレペータ加振2deg)	同上	誘導性能確認 空力特性データ取得 (ピッチ関連)		

備考) 時刻は現地時刻である。

表2 ALFLEX自動着陸実験 着陸性能評価

ノミナル値の下段は評価規定範囲 #はオフセット分離 実験値の下段はノミナル値からの偏差 *は制動用パラシュート非使用 地上風は接地時の風観測装置出力, H:向風, T:追風, R:右横風, L:左横履

г		18 ZZ	⋥ . □					· · · · · · · · · · · · · · · · · · ·		し地上	風は接地	時の風観測	川装置出力	,E·向風,	T:追風,	R:右横風,	L:左横風」
	実	施自	番号 月日	ノミナル	0 1 96/07/06	0 2 96/07/14	0 3 96/07/24	0 4	0 5 96/07/28	0 6 96/07/30	0 7	0.8	0 9	1 0 96/08/09	11	12	1 3
۱.	9	足験	項目	_	基本性能評価		オフセット分差		ラタゲー加援			1 - 1 1 // 4	+74-1A	オフセット分割	1 - 1 - 1 //1) 96/08/14 オフセット分類	96/08/15 オフセット分類
分離	T	時多			11:11:53	11:15:17	16:08:51	14:11:42	13:42:32	12:06:19	11:55:46	179 - NI	11.15.40	11110114	エルロン加	エレヘータ加	エレヘータ加援
	ا۔	x	座 標	-2682.0 ± 100.0	-2673. 1 +8. 9	-2676. 5	-2661.9	-2691.4	-2683. 1	1 -2666. 3	-2680.3	-2782.6		-2673.7	-2749.5	-2683. 1	-2778.6
	Ӡ	у ,	座標	0.0	+ <u>8. 9</u> -7. 5	+5.5 +3.3	+20. 1 -67. 1	- <u>9. 4</u> -8. 8	-1.1 -5.4	+15. <u>7</u> -8. 3	<u>+1.7</u> -6.4	# -100 <u>. 6</u> -6. 6	+7. 6 -87. 9	+ <u>8. 3</u> -193. 9		il -1. 1	# -96.6
	- }	···高	<u>m)</u> 	±1000 15000	-7. 5	+3.3	#67.1	-8.8	- 5. 4	-8. 3	-6.4	16.6	#87. 9	l#-193.9	+1.6	il -5. 0	
		(m)	.l_±50.0	1497. 0 -3. 0	1494. 2 -5. 8	1495. 6 -4. 4	1509. 2 +9. 2	1498. 0 -2. 0	1502. 3 +2. 3	1490. 8 -9. 2	1495. 6 -4. 4	1454.0	1502. 1 +2. 1	1499. 3 -0. 7	1546. 9	1499.7
			対気速度 n/s)	46.3 ± 3.0	44. 2 -2. 1	44. 2 -2. 1	43. 8	44. 2	45.6	42. 5	44.0	41. 9	43.7	43. 5	43. 0	46.5	44.1
	1	分離後	後の時間	44.0	49. 3	49.8	-2. 5 45. 1	-2. 1 51. 6	-0. 7 46. 0	-3. 8 45. 7	-2. 3 45. 8		-2. <u>6</u> 51. 1	-2. 8 46. 9	-3. 3 45. 6	+0.2	-2. 2
接	ŀ		s) 座 標	規定なし 263. I	+5. 3 420. 4	+5. <u>8</u> 451.3	<u>41. 1</u> 474. 8	+7. 6 340. 2	+2.0	+1.7	+1.8	+8. 1	+7.1	+2.9	+1.6	+3.6	1 +6.5
		(m)	[≥ 0.0]	+157. 3	+188.2	+211.7	+77.1	441. 1 +178. 0	474.5 +211.4	426. 6 +163. 5	432. 2 +169. 1	408.8 +145.7	425. 2 +162. 1	463. 4 +200. 3	423.3° +160.2°	366. 8 +103. 7
	#	У (座。標	0.0 ± 18.0	+0. 4 +0. 4	†1. 6 †1. 6	-0. 1 -0. 1	+1.8 +1.8	-3. 0 -3. 0	-0. 1 -0. 1	+1.4	-1.3	+3. I	+2.4	+3. 3	+3.6	+0.6
		等研究	 気速度	51.6	48.17	48.6	48.61	46.7	47.0	49. 3	$\begin{array}{cccccccccccccccccccccccccccccccccccc$	- <u>1. 3</u> 48. 9	+3. <u>1</u> 48. 9	+2. 4 49. 0	+3. 3 48. 4	+3.6 47.8	+0. 6 48. 6
	ŀ		/s <i>)</i> 1速度	<u>± 8.0 </u> 51.6	-3. <u>5</u> 46. 2	-3. 0 46. 3	-3. 0 51. 2	-4.9	<u>-4.</u> 6 53. 1	-2. <u>3</u> 51. 6	<u>-4. 4</u> 50. 0	-2. 7	1 -2.7	-2.6	j3. 2	-3. 8	-3. 0
		<u>(m</u>	/s)	≦ 62.0	-5.4	-5.3	-0.4	-10.3	+1.5	0.0	-1.6	46. 5 -5. 1	45. 4 -6. 2	48. 9 -2. 7	53. 4 +1. 8	46. 1 -5. 5	43. 9 -7. 6
ŀ		沈 (m	下	0. 82 ≤ 3. 10	1. 37 +0. 55	0. 40 -0. 42	0. 44 -0. 38	1. 50 +0. 68	0. 76 -0. 06	0. 65 -0. 17	0. 43 -0. 39	0. 70 -0. 12	1. 11 +0. 29	0. 68 -0. 14	0. 37	1.07	1.03
		迎,	角 eg)	i4.2 規定なし	17. 1 +2. 9	17.5	16. 27	19.0	16.51	18. 4	16. 7	15. 6	16. 9	15. 5 +1. 3	<u>-045</u> 16. 8	+0. 25 17. 4	+0. 21 17. 7
地	<u>t</u> h i	ピッチ	安勢角	13.31	13. 5	<u>+3. 3</u> 13. 7	12. 1	14. 8	12. 3 12. 5	14. <u>4</u>	13. 3	12. 5	13. 9		+2.6	+3. 2	+3.5
		(a	eg) ⁄姿勢角	_ <u>≦23.0</u> 0.0	+0.2	+0.4	-1.2	+1.1	-0.8	+1.1	+0.0	-0.8	+0.6	11. 5 -1. 8	13. 3 -0. 0	13. 8 +0. 5	13. 6 +0. 3
	'	<u>. (d</u>	<u>eg)</u>	± 10.01	-0. 4 -0. 4	+0.5 +0.5	-1. 2 -1. 2	+0.4 +0.4	-2. 0 -2. 0	-0. 6 -0. 6	+0.6 +0.6	-2. 1 -2. 1	+0.7 +0.7	+0.7 +0.7	+0. 5 +0. 5	+0.9 +0.9	+0.2
		∃	姿勢角 eg)	0.0 ± 8.0	+0.7 +0.7	-0. 6 -0. 6	†2. 3 †2. 3	-4. 1 -4. 1	Ŧ3. 31	+1.6	-2. Ī	+4. 3	-2.6	-1.6	-0.9	-3. 1	<u>+0. 2</u> -0. 9
3/	Į I	ピッチ	角速度	-32.6	-28. 7	-25. 5	-26. 1	-30. 4	-30.1	+1. 6 -25. 5	-2. 1 -26. 1	+4. 3 -28. 3	-2. 6 -29. 4	-1. 6 -28. 1	-0. 9 -26. 4	-3. 1 -24. 9	-0.9
度/			g/s) :距離	≥ -57.0 337.9	+3. 9 272. 7	+7. 1 272. 3	+6. 5 414. 7	+2. 2 240. 5	+2.5	+7. 1	+6. 5	+4. 3	+3. 2	+4.5	+6. 2	+7.7	-25. 3 +7. 3
走行	ŧl.	()	m)	規定なしし	-65. 2	-65.6	+76.8	-97.4	450. 9 +113. 0	389. 1 +51. 2	380. 8 +51. 2	301. 3 -36. 6	* 305.1 -32.8	* 393.4 +55.5	* 526.4 +188.5	* 344.7	272. 0 -65. 9
	۱ ا		最大値 ($\begin{array}{ccc} & 0.0 \\ \pm & 21.0 \end{array}$	-1. 6 -1. 6	+1.6 +1.6	-1.6 -1.6	-2. 6 -2. 6	-3. 6 -3. 6	-1.8	+1.4	-3. 7	+3. 1	+2, 4	+3. 3	+3.61	-1. 2
停	5	}離後	の時間	57.0	61.8	62. 1	63. 1	63. 9	64, 2	-1. 8 62. 3	+1. 4 61. 9	-3. 7 65. 9	+3. 1 64. 4	+2. 4 63. 7	+3. 3 65. 9	+3. 6 62. 7	-1. 2 63. 5
	r -		s) 座 標	規定なし 601.0	<u>+4.</u> 8 693. 1	723. 6	<u>+6. Î</u> 889. 5	+6. 9 580. 7	+7. 2 892. 0	+5.3	+4.9	+8.91	+7.4	+6.7	+8.9	+5. 7	+6. 5
١.	1.	(1	m)	≤ 1000.0	+92. 1	+122.6	+288.5	-20.3	+291. 1	863. 6 +262. 6	807.41 +206.4	733. 5 +132. 5	7[3.9] +112.9	818. 6 +217. 6	991. 0 +390. 0	767. 91 +166. 9	638. 8 +37. 8
此	-		座 標	$\begin{array}{ccc} & 0.0 \\ \pm & 21.0 \end{array}$	-1. 6 -1. 6	-1.·5 -1. 5	-1. 6 -1. 6	-2. 6 -2. 6	-1.9 -1.9	-0.8	-1.01	-2.0	+0.5	-0.4	-0. 2	+1.5	+0.1
1111	,]	[後風	(m/s)	0. 0 I			1.51	H 7. 9 1 84. 6	5.6	-0.8 [_2.7]	-1. 0 r 2. 4	-2. 0 H 3. 1	+0. 5 H 6. 1	-0.4 T 0.6	-0. 2 T 5. 1	+1.5 H 2.1	+0.1
<u>I</u>	19	脚 闭 横風	4語(%) (m/s)	0.0 0.0 R	44. 1	39.3	40. 0 2. 6 I			71.3	$6\bar{4}.\ \bar{6}$	H 3. 1 32. 5	65. 21	15.9	136.0	<u>33. 0</u>]	H 6. 5 68. 7
風	V fi	横風	る語(%)	0.01	1. 8 1 31. 2	R 2.6 R 45.8	2. 6 I 46. 1	R 2.4 R 43.1	3. 6 64. 8	R 3. 0 1 52. 8	R 1.8 31.3	R 5. 5 97. 8	L 1. 0 17. 2	L 0.0	R 2. 1 36. 6	L 0.1	R 0.8

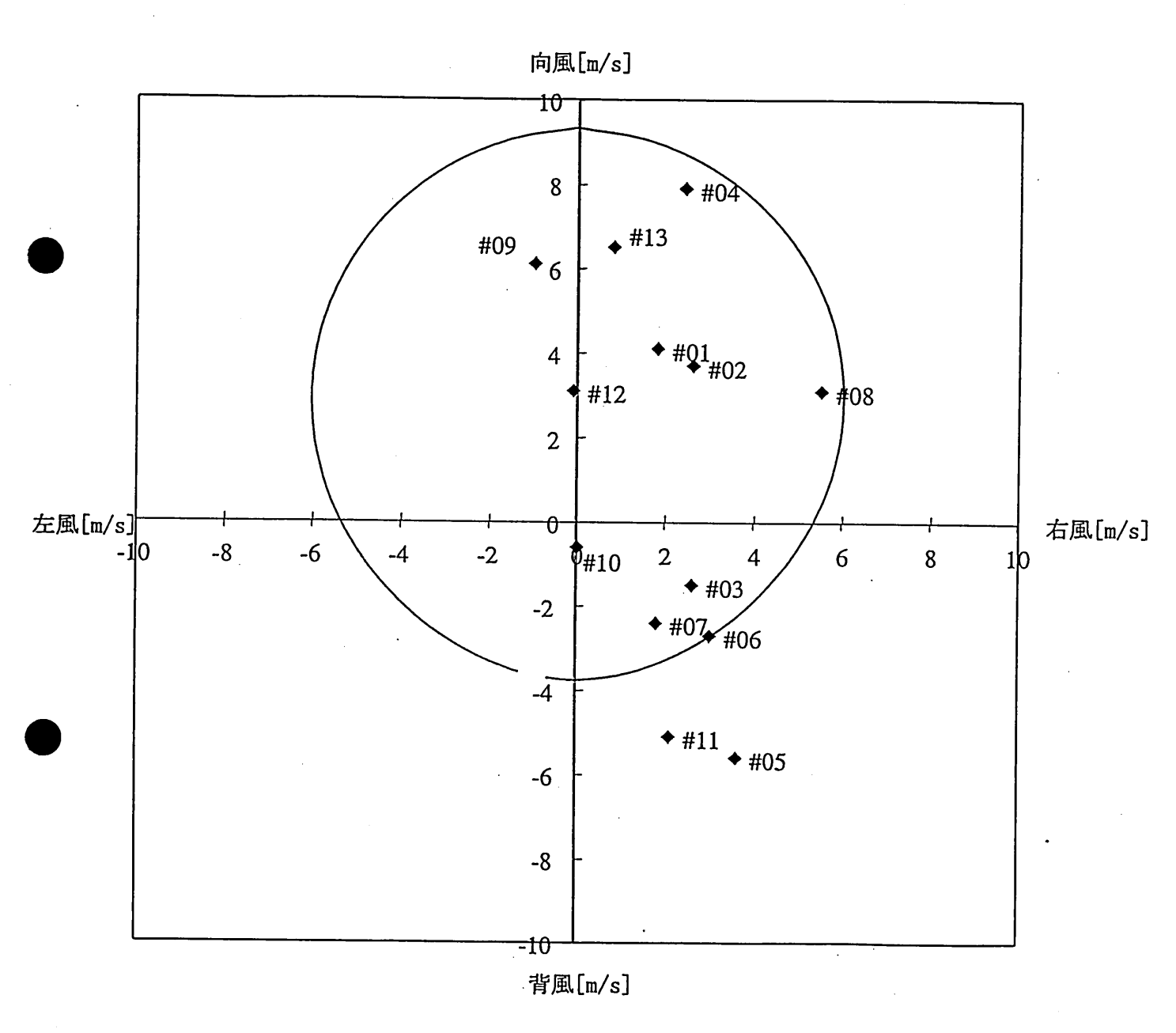


図1 実験時の地上風

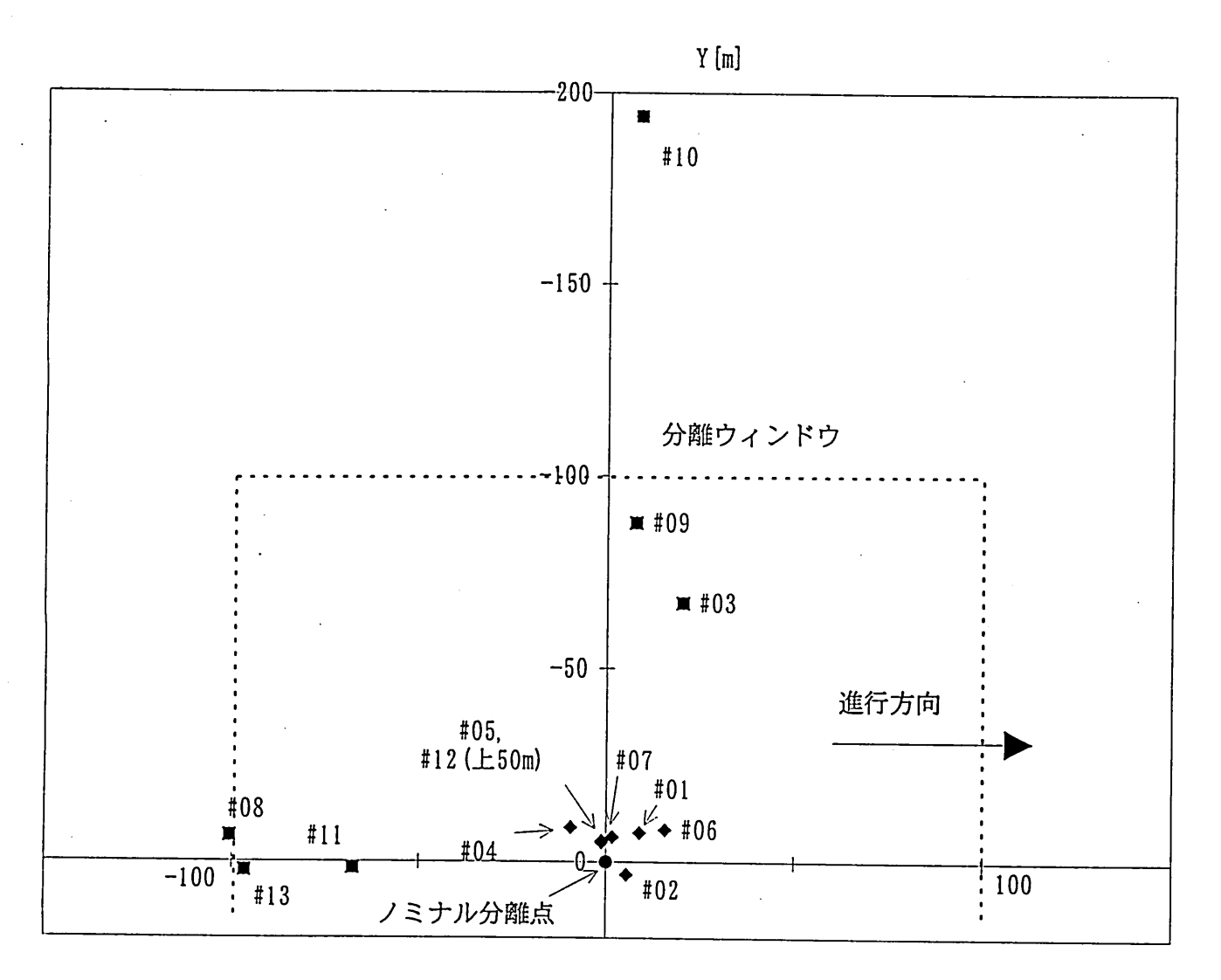


図 2 分離位置

X [m]

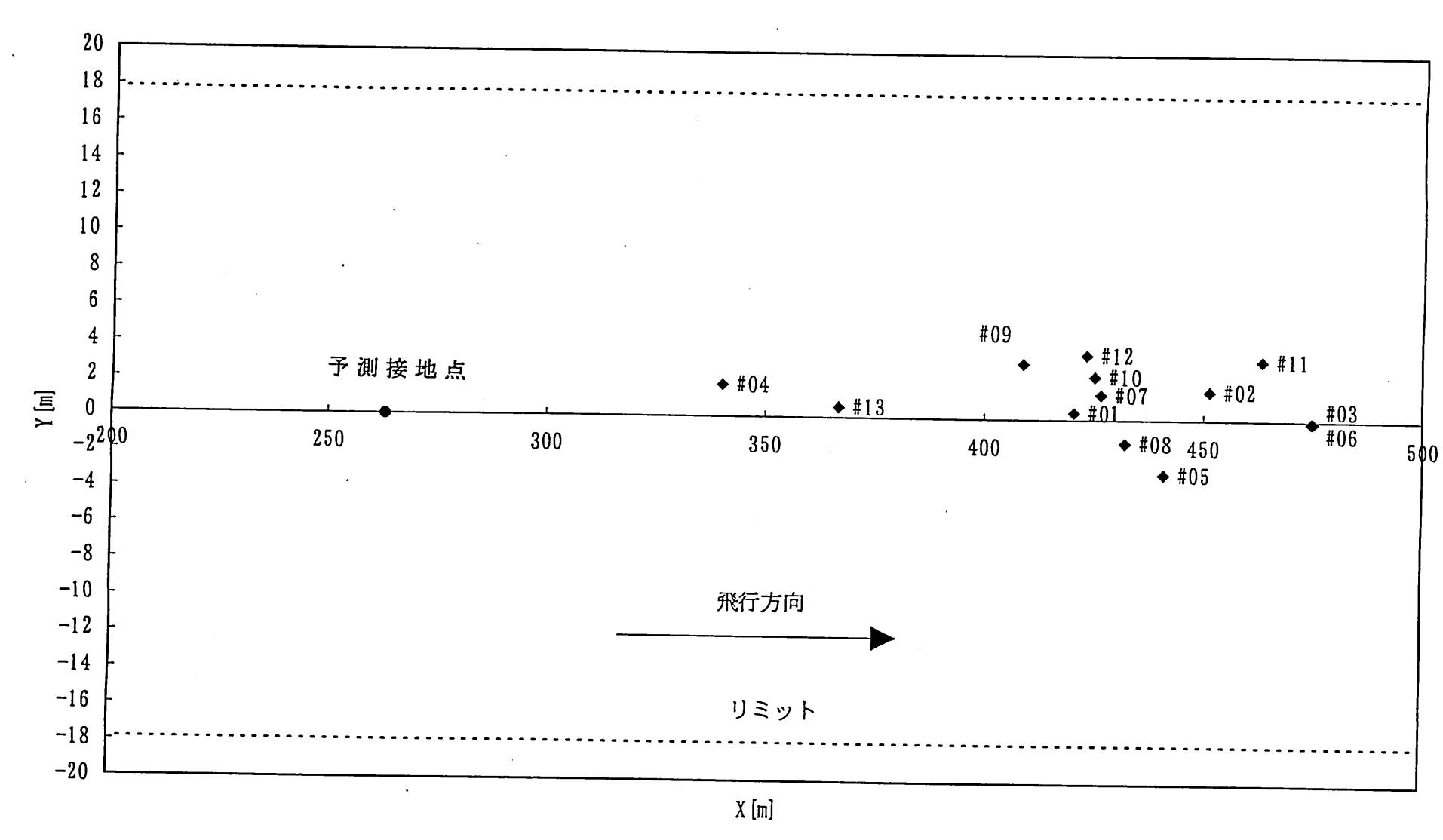
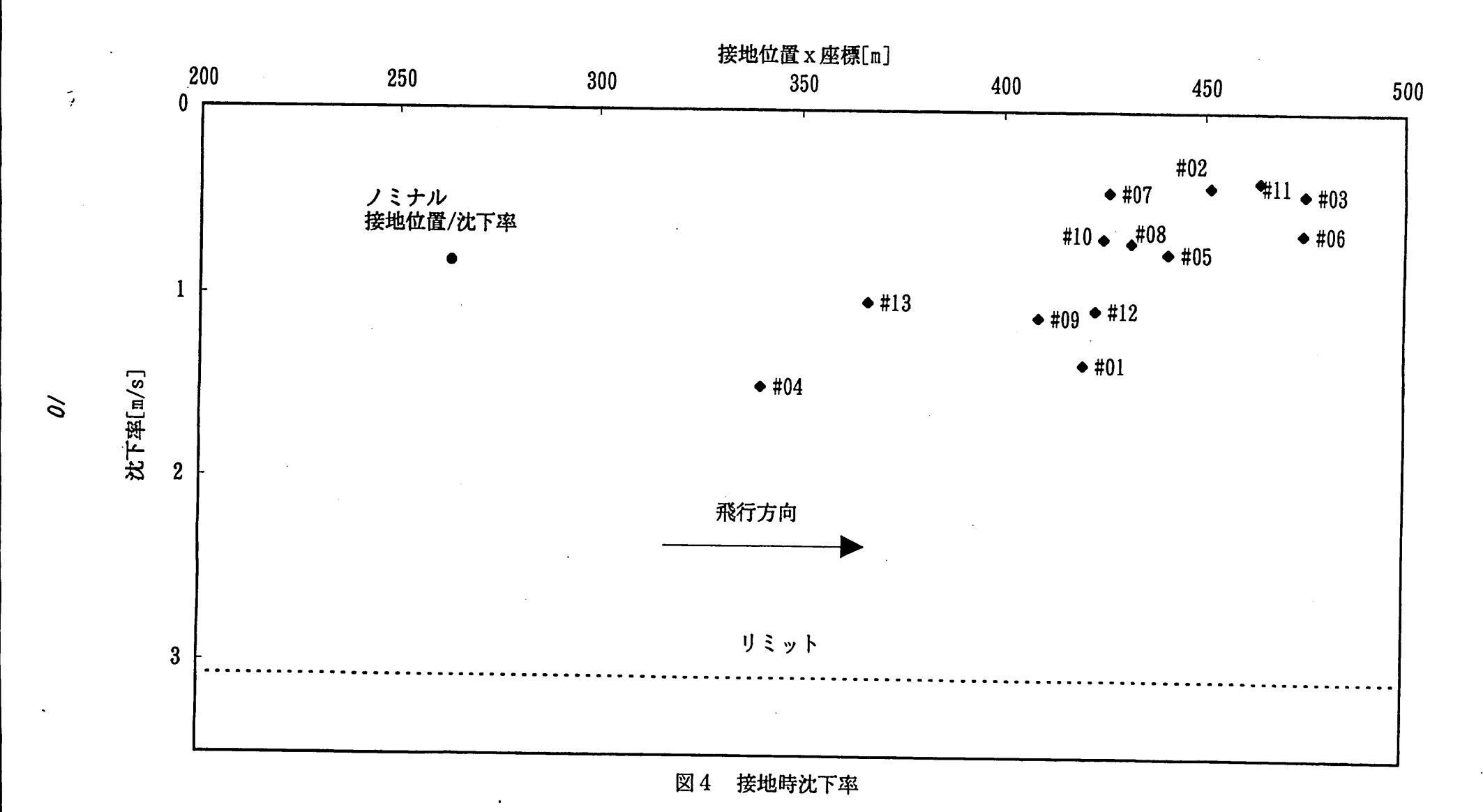


図3 接地位置



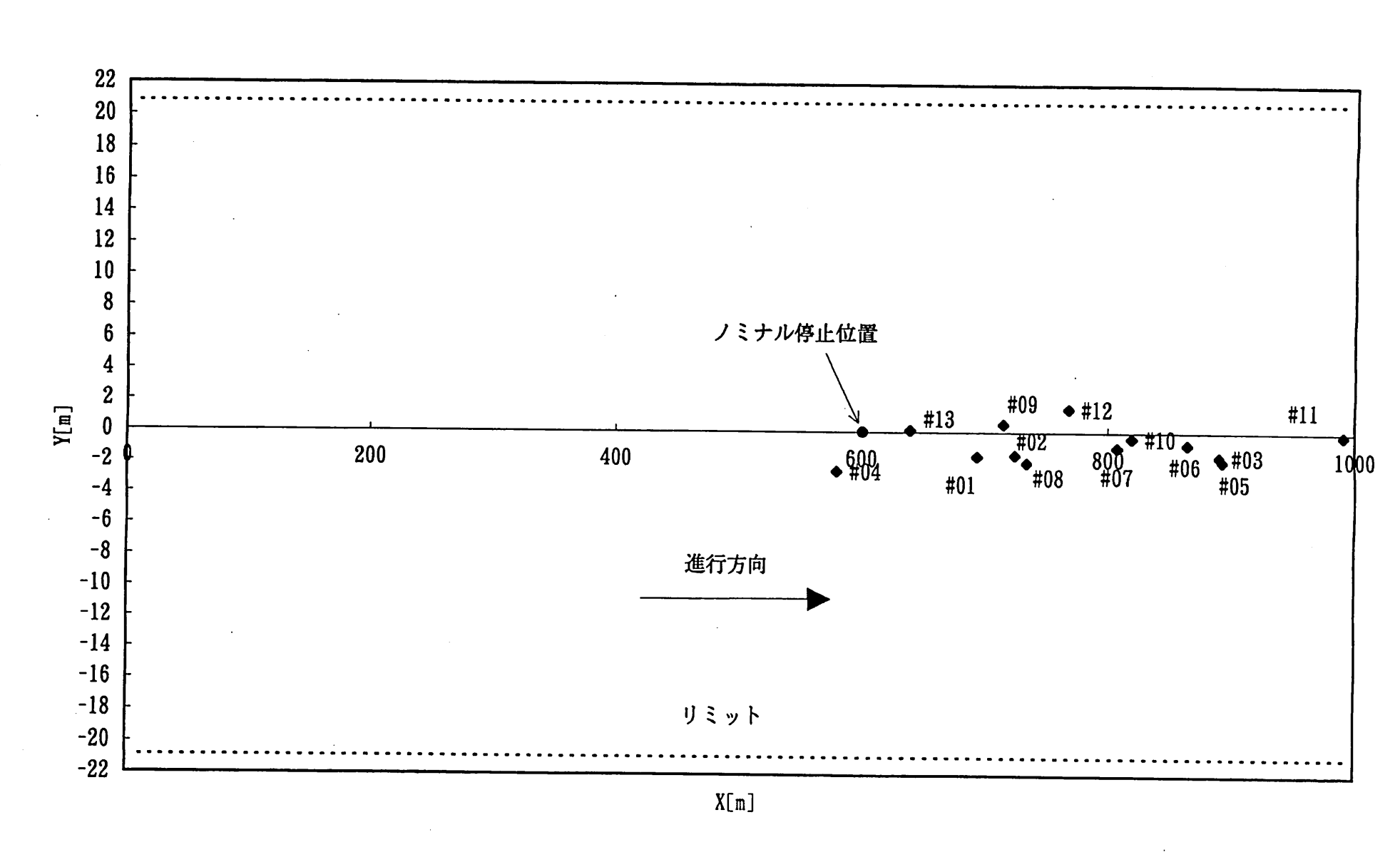


図 5 停止位置

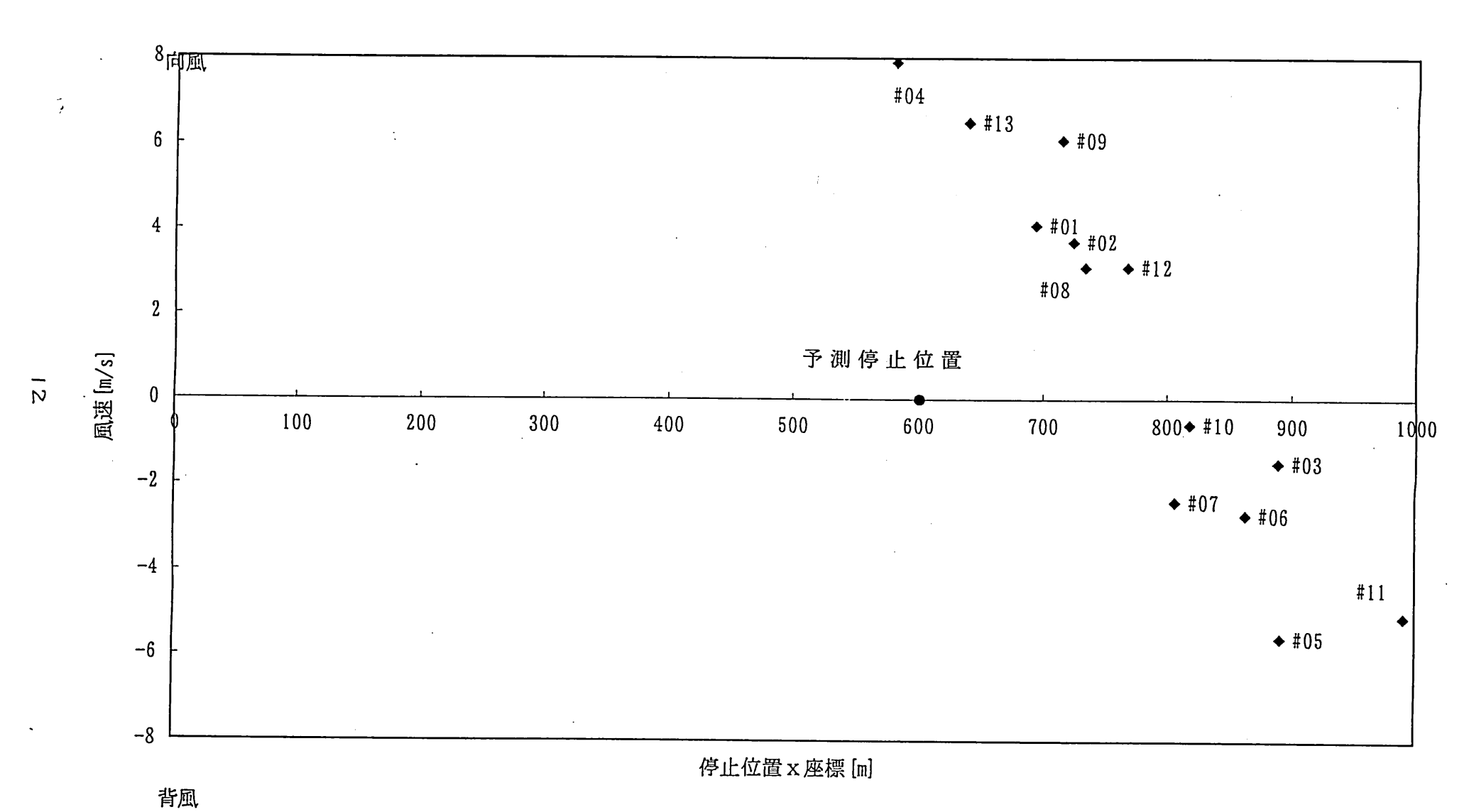


図6 停止点に対する風の影響